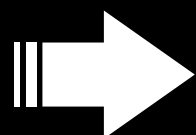


EXPERIMENTAL STUDIES OF AQUEOUS ALTERATION IN CARBONACEOUS CHONDRITES.

I. Ohnishi
COE researcher

含水鉱物:

- 多くのコンドライト隕石、宇宙塵、微小隕石中に存在。
- 微小天体(小惑星)中の水-岩石反応(水質変成)によって生成。



水質変成:

初期太陽系で一般的な二次的変成過程。

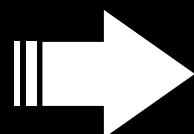
含水鉱物:

- 種類: コンドライトのタイプにより異なる。

CMタイプ … サーペンティン

CIタイプ … サーペンティン + サポナイト

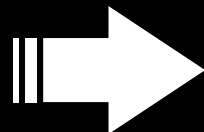
CVタイプ … サポナイト



微小天体ごとの水質変成条件の違いを反映。

水質変成条件:

- 含水鉱物の生成条件
 - 無水鉱物(隕石)の変成条件
- } の理解が不可欠。

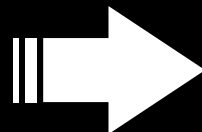


水熱変成実験

1. エンスタタイト変成実験
2. エンスタタイト+Fe/SiO₂変成実験
3. アエンデ隕石変成実験

水質変成条件:

- 含水鉱物の生成条件
 - 無水鉱物(隕石)の変成条件
- } の理解が不可欠。



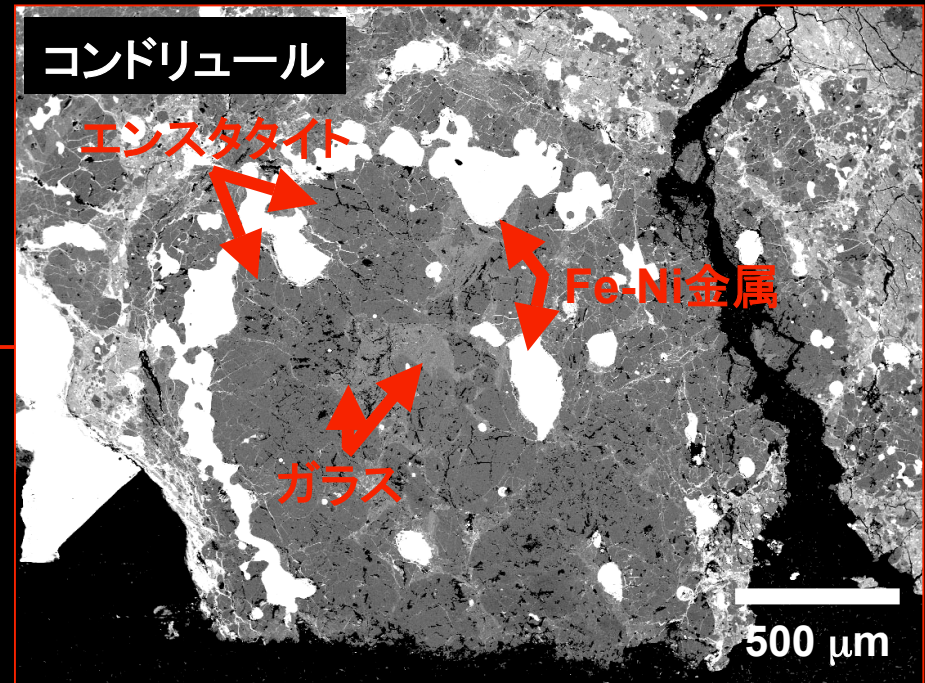
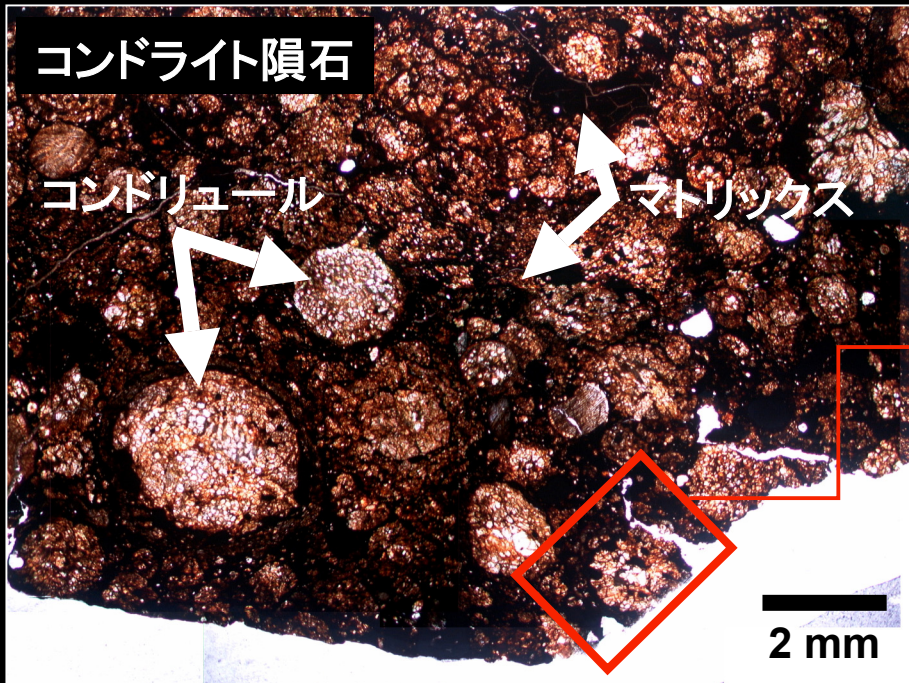
水熱変成実験

1. エンスタタイト変成実験
2. エンスタタイト+Fe/SiO₂変成実験
3. アエンデ隕石変成実験

エンスタタイト変成実験

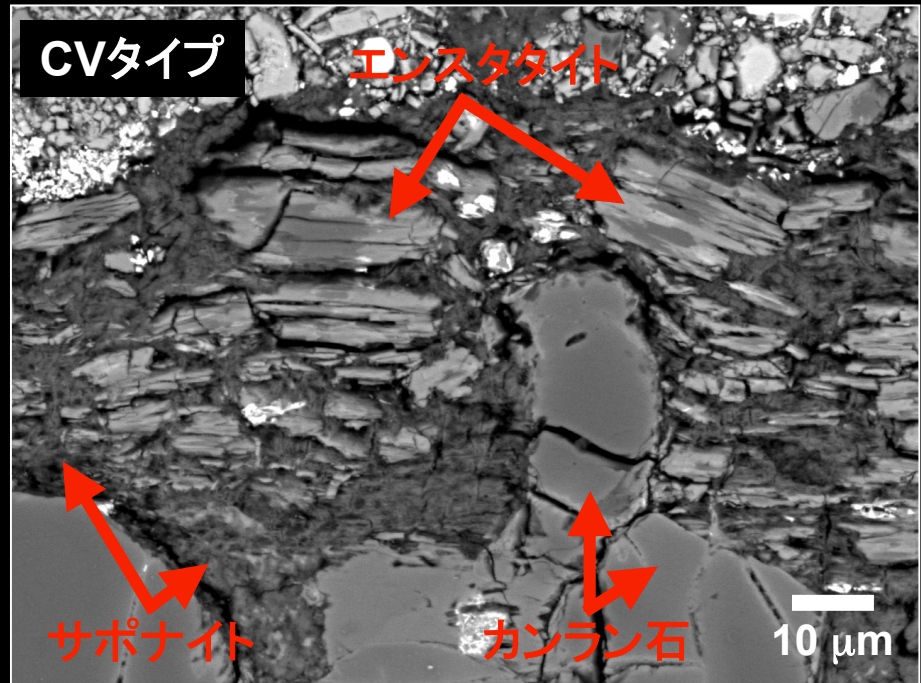
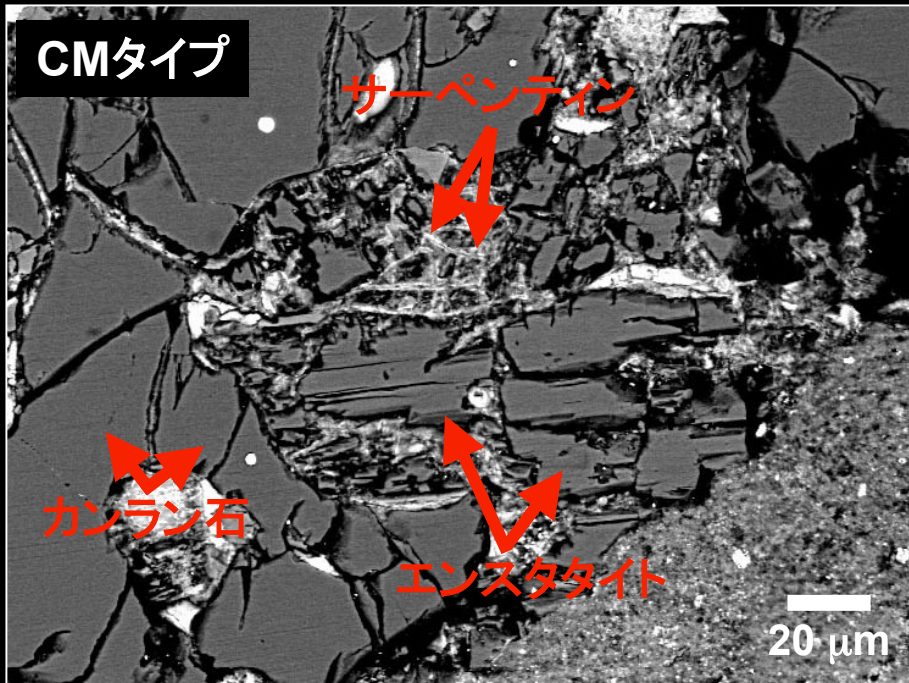
I. Ohnishi and K. Tomeoka (2007)
Hydrothermal alteration experiments of enstatite: Implications
for aqueous alteration of carbonaceous chondrites,
Meteoritics & Planetary Science, **42**, 49-62.

エンスタタイト(MgSiO_3):



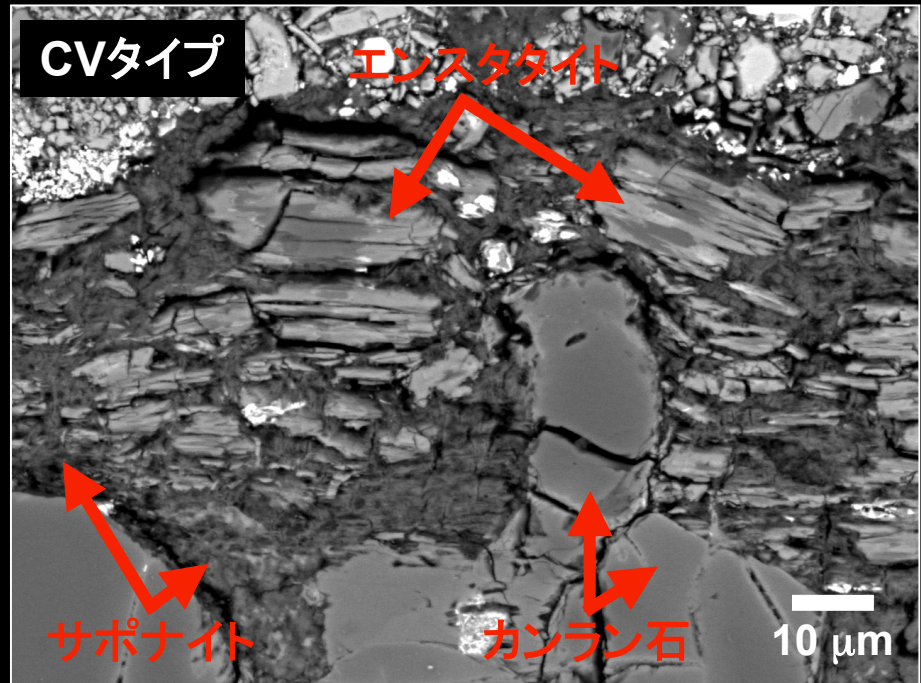
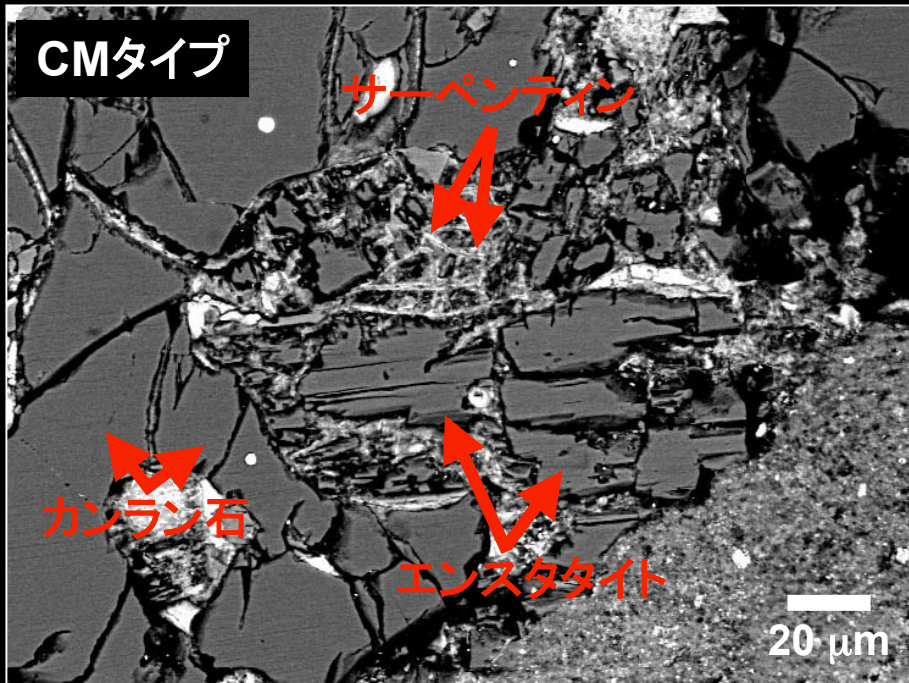
- ・ コンドライトの主要構成鉱物。
- ・ 主にコンドリュール斑晶として存在。

エンスタタイト(MgSiO_3):



- 他の鉱物よりも変成されやすい。
- コンドライトのタイプで含水鉱物の種類が異なる。
ナーペンティン (CMタイプ) ⇄ サポナイト (CVタイプ)

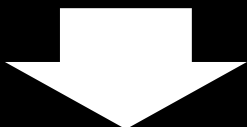
エンスタタイト(MgSiO_3):



→ 水質変成の条件を探るインディケーター。

目的:

1. さまざまな温度、時間、pH条件において
エンスタタイトからどのような含水鉱物
が生成されるかを調べる。



2. コンドライト中の含水鉱物と比較する。
3. 水質変成条件に制約を与える。

出発物質と実験条件:

- 出発物質: 斜方エンスタタイト(EN)粉末(<30 μm)
- 反応させた溶液:

(1) 1N-HCl	(pH 0)
(2) 1N-NaCl	(pH 6)
(3) H ₂ O	(pH 7)
(4) 0.01N-NaOH	(pH 12)
(5) 0.1N-NaOH	(pH 13)
(6) 1N-NaOH	(pH 14)

実験条件 :

温度 = 100, 200, 300 °C

時間 = 24, 72,

168, 336 時間

圧力 = 1 kb

出発物質と実験条件:

- 出発物質: 斜方エンスタタイト(EN)粉末 (<30 μm)
- 反応させた溶液:

(1) 1N-HCl	(pH 0)
(2) 1N-NaCl	(pH 6)
(3) H ₂ O	(pH 7)
(4) 0.01N-NaOH	(pH 12)
(5) 0.1N-NaOH	(pH 13)
(6) 1N-NaOH	(pH 14)

実験条件 :

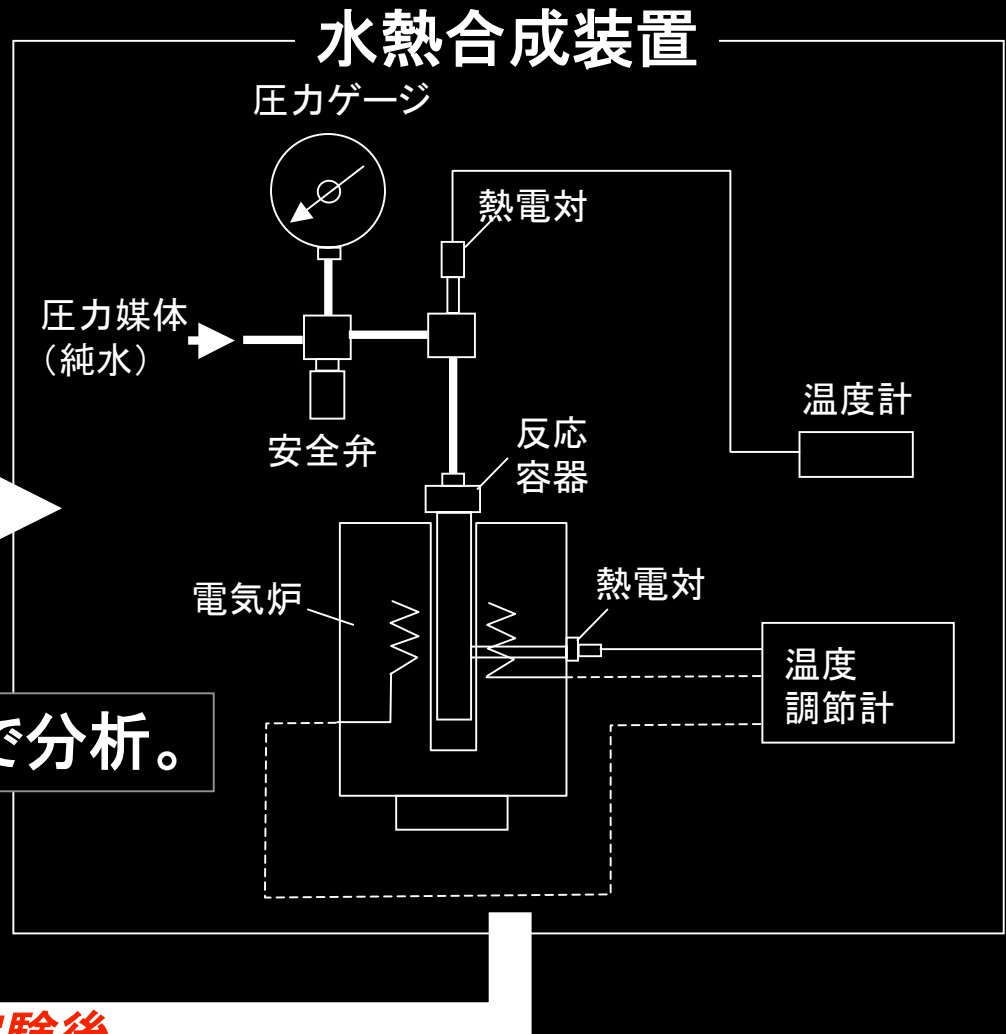
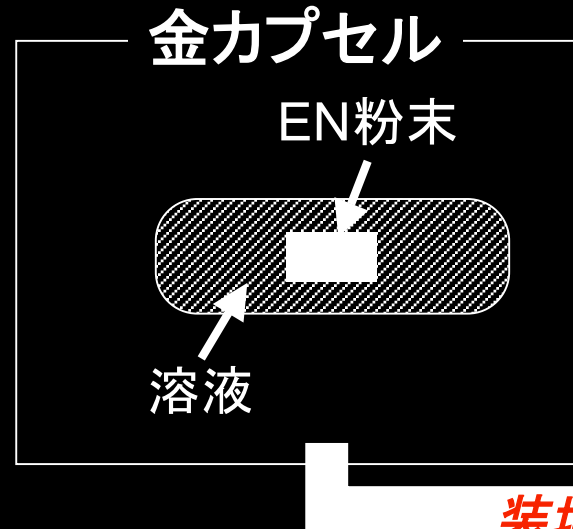
温度 = 100, 200, 300 °C

時間 = 24, 72,

168, 336 時間

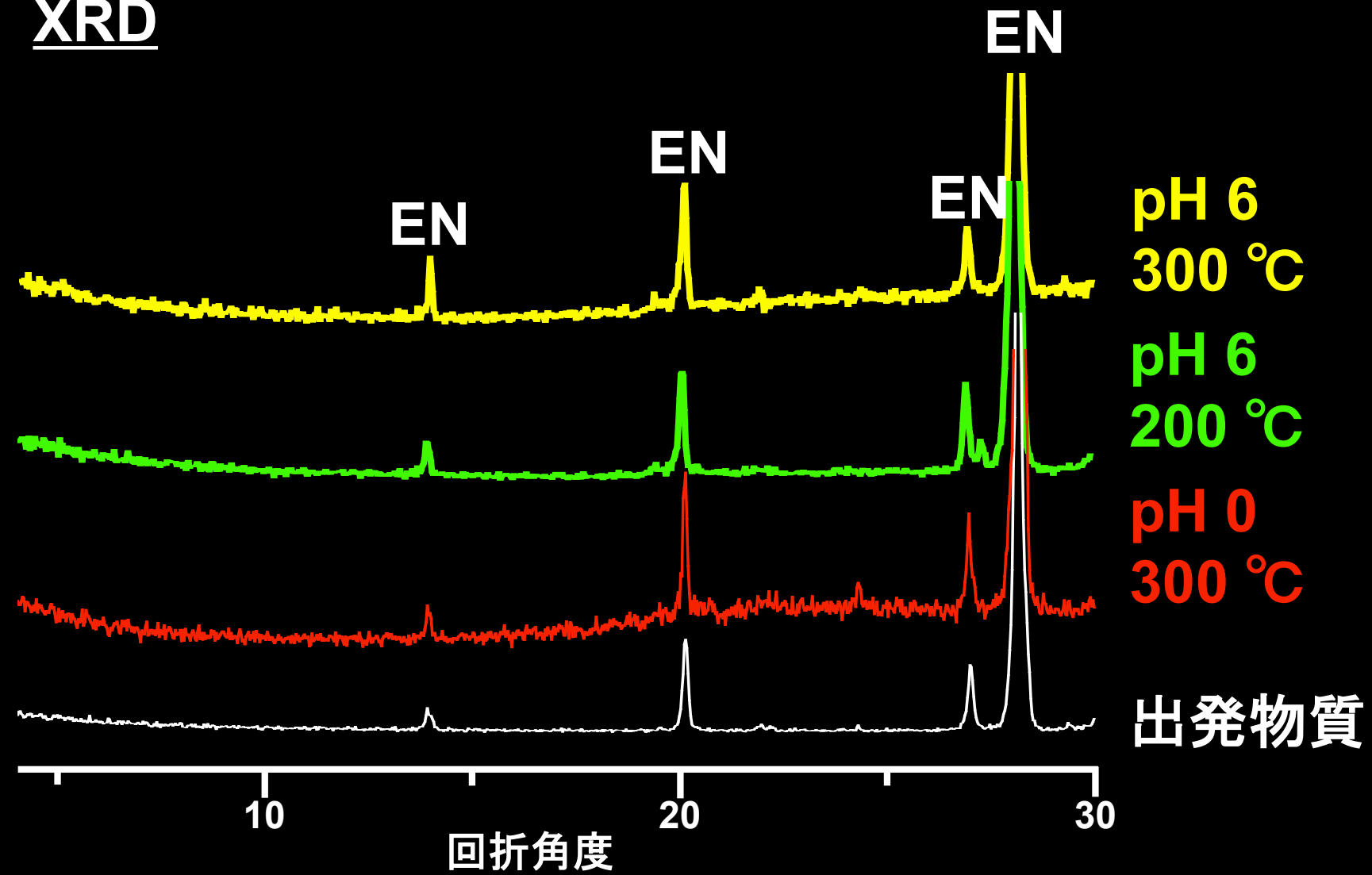
圧力 = 1 kb

実験方法:

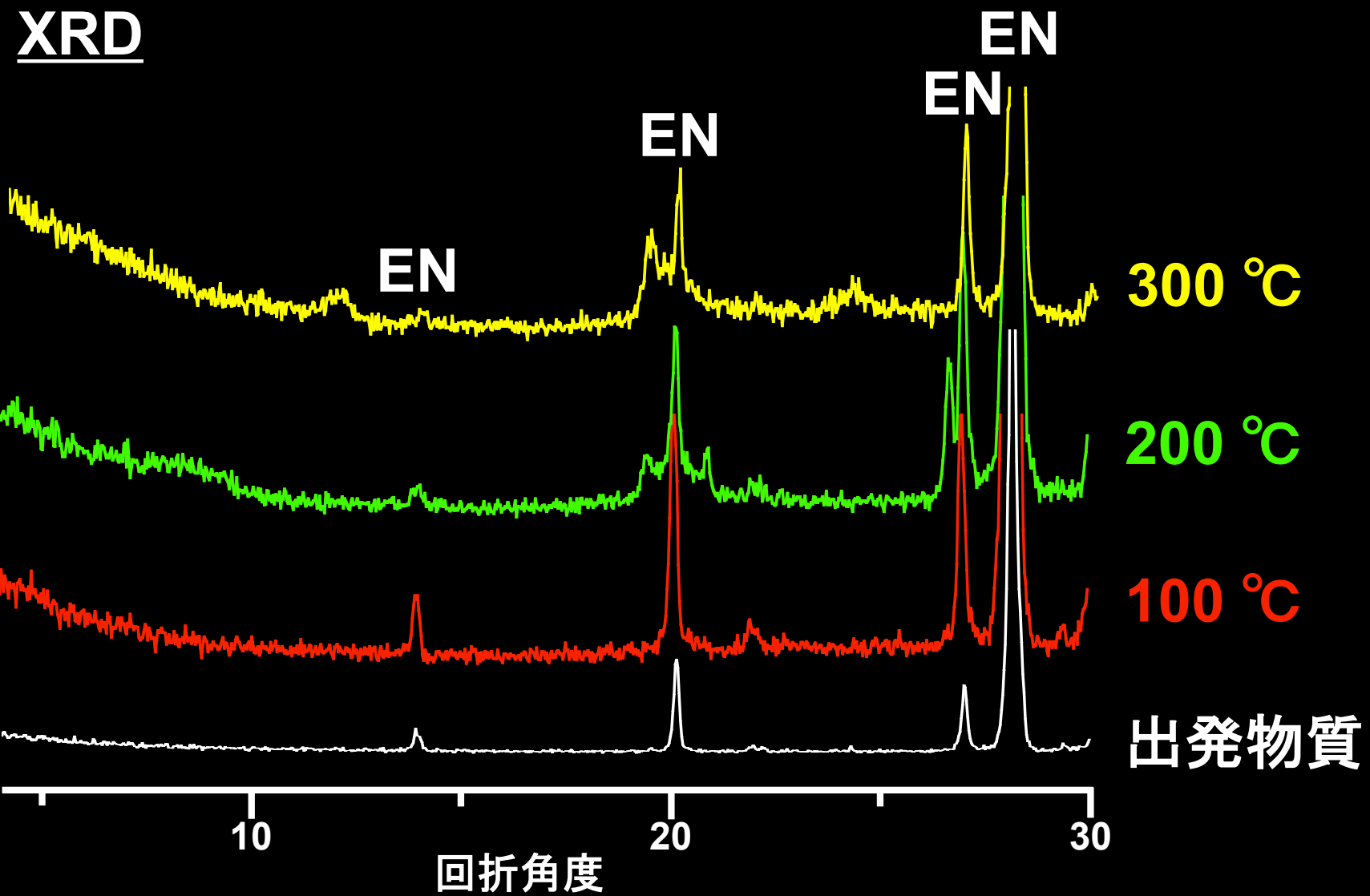


(2) 実験生成物 (pH 0 & 6):

XRD



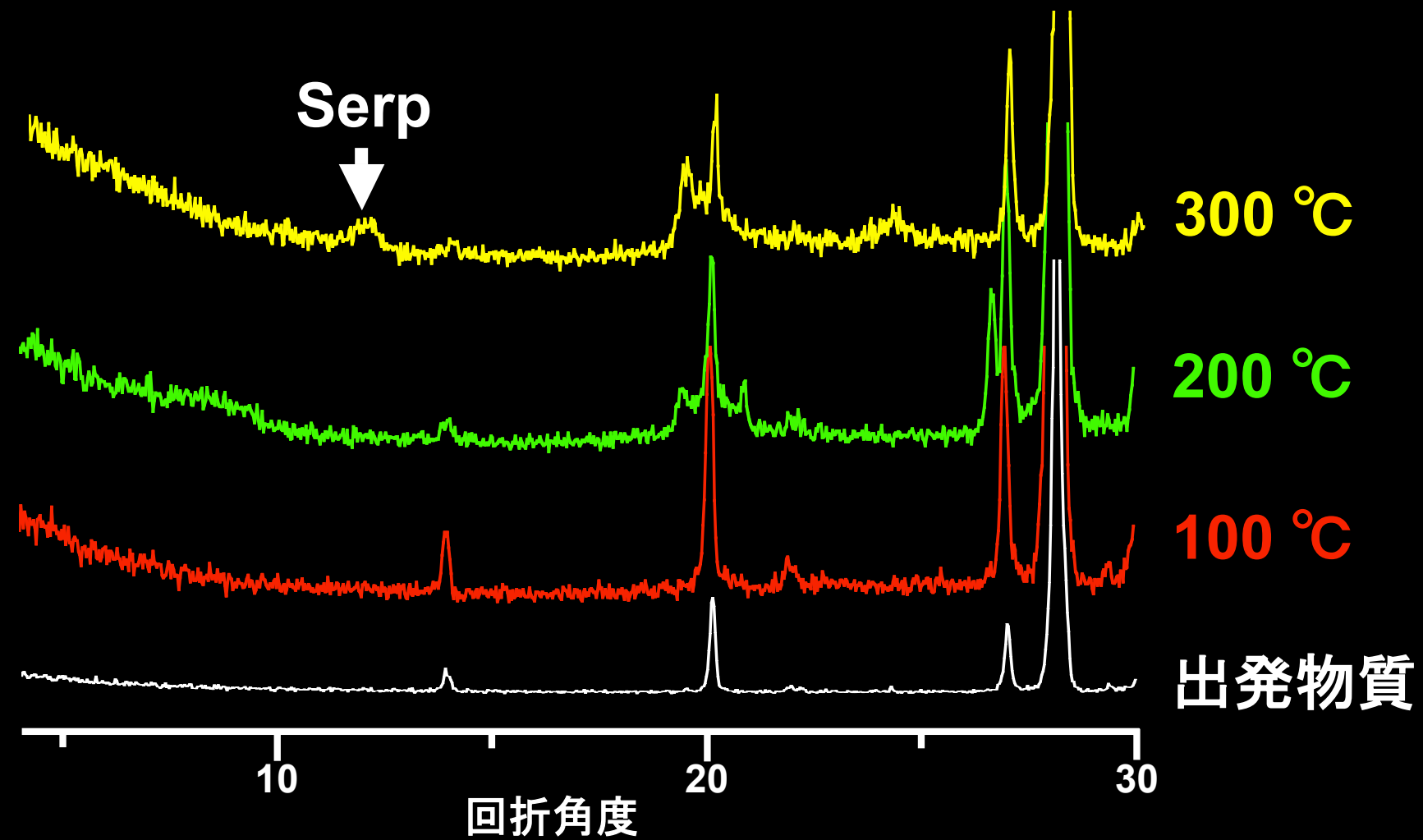
(3) 実験生成物 (pH 7):



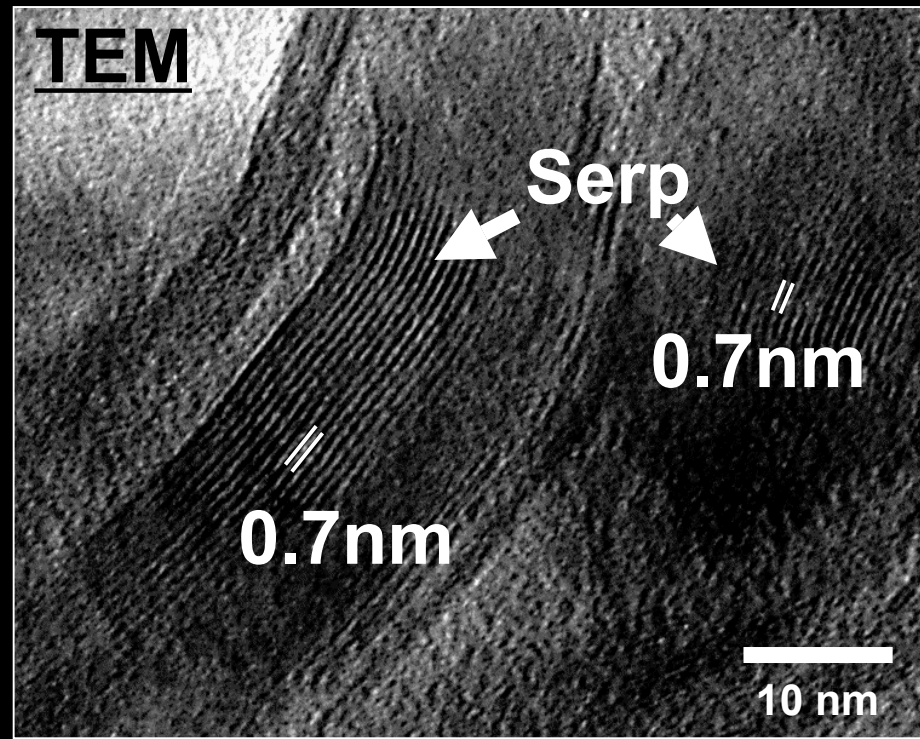
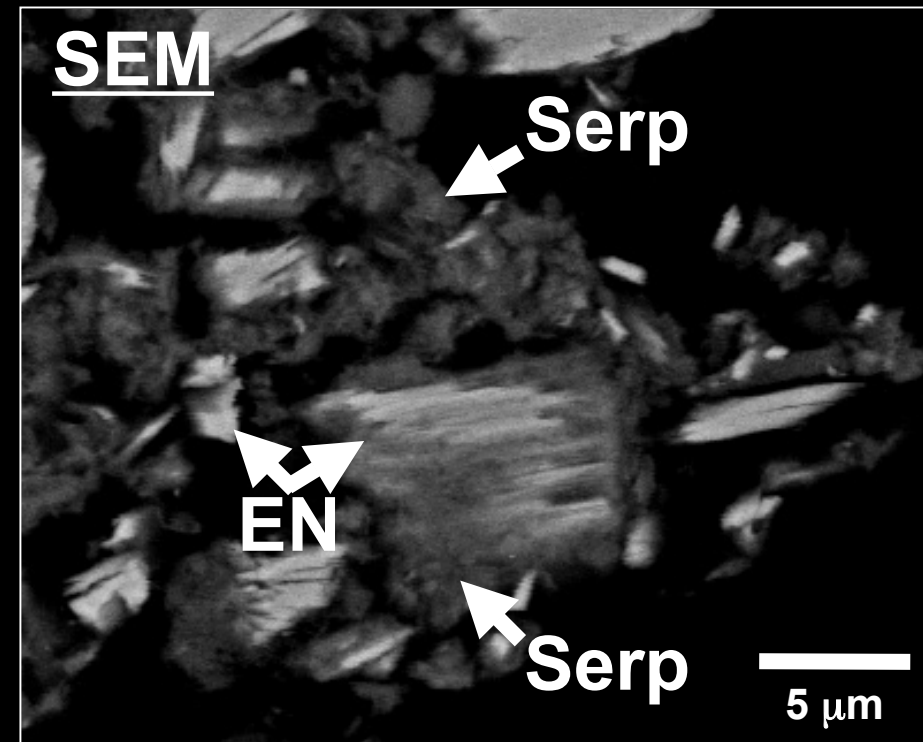
(3) 実験生成物 (pH 7):

XRD

Serp: サーペンティン



(3) 実験生成物 (pH 7):



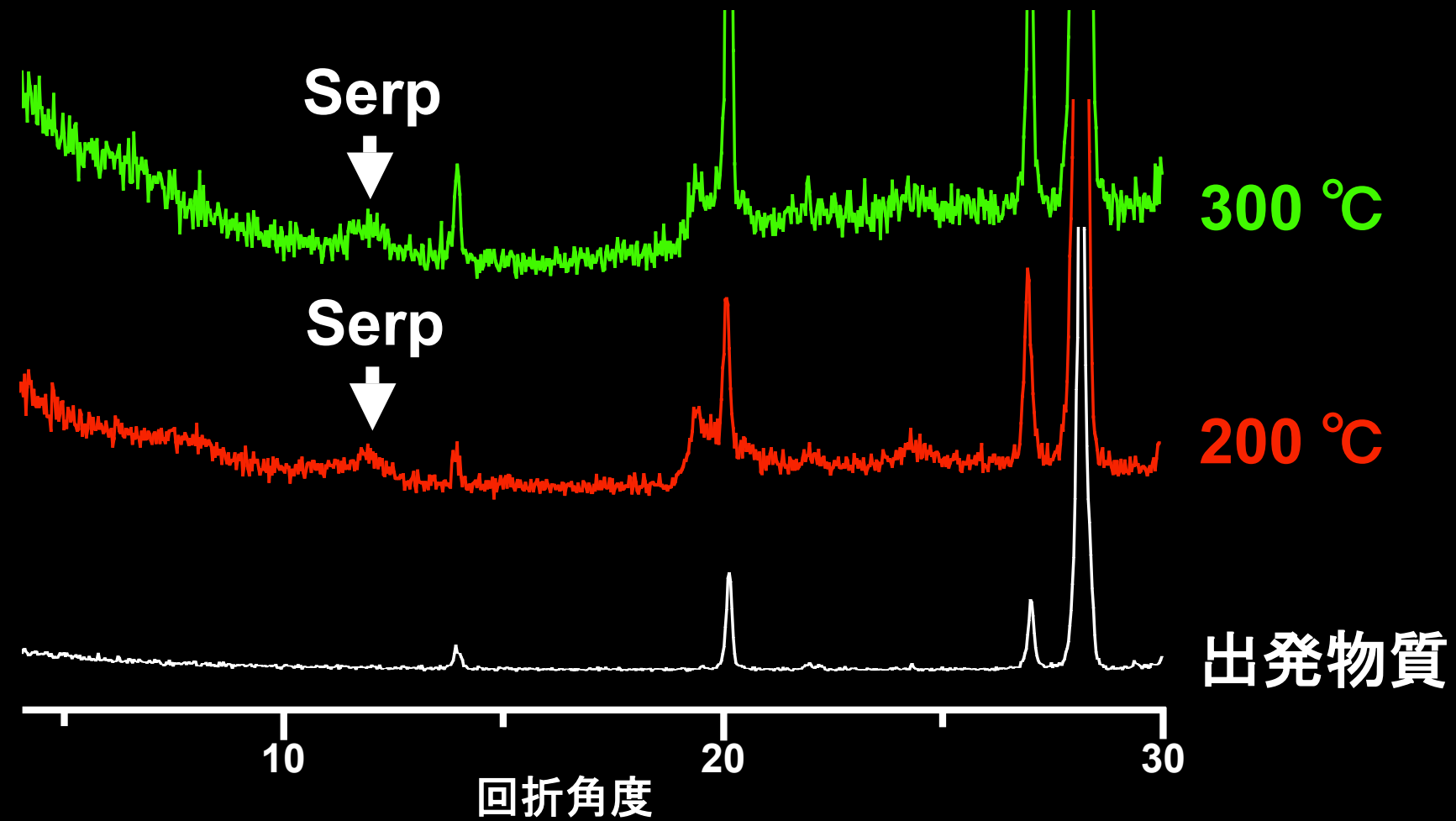
Serp: サーペンティン

300°C

(4) 実験生成物 (pH 12):

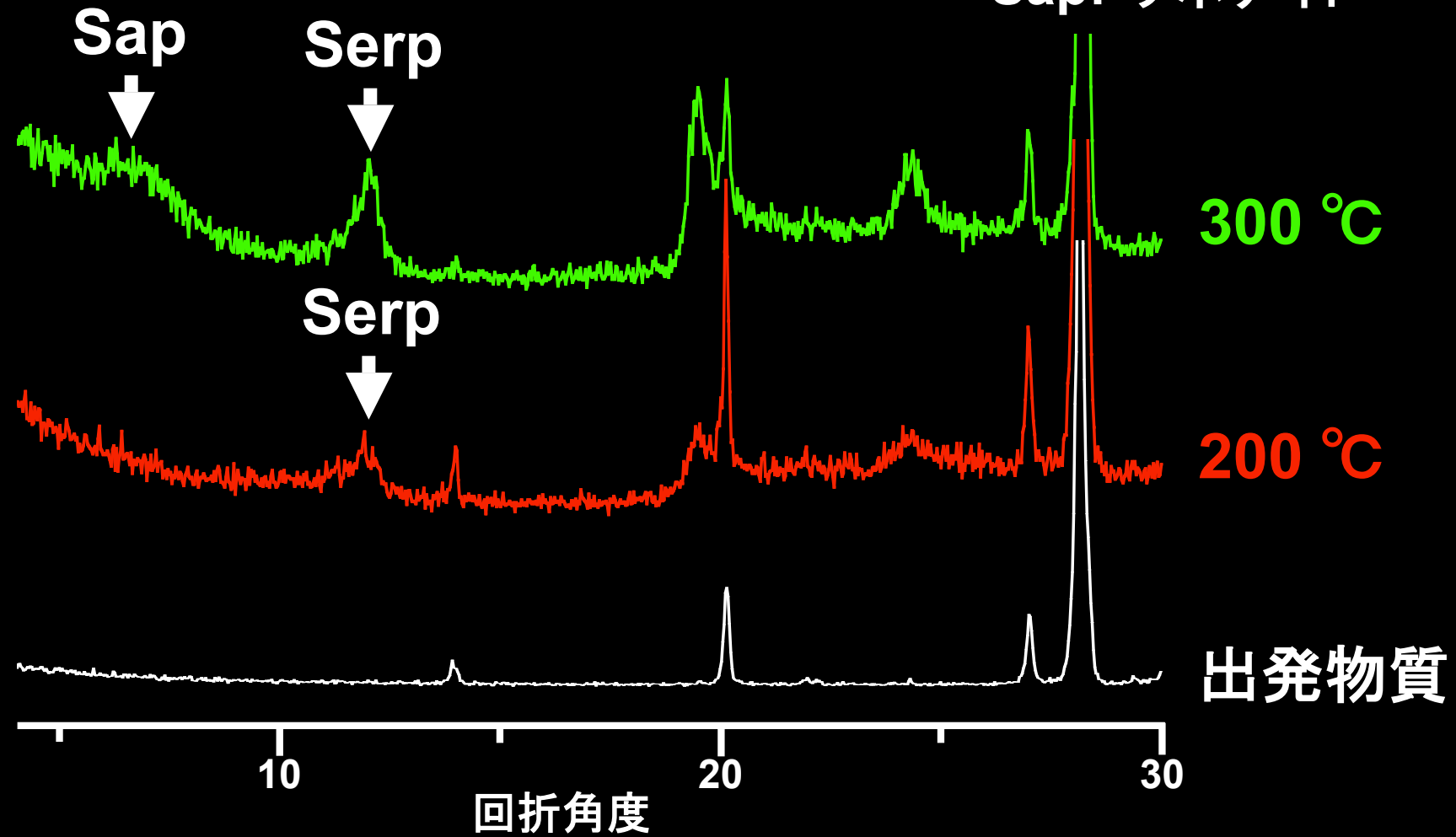
XRD

Serp: サーペンティン

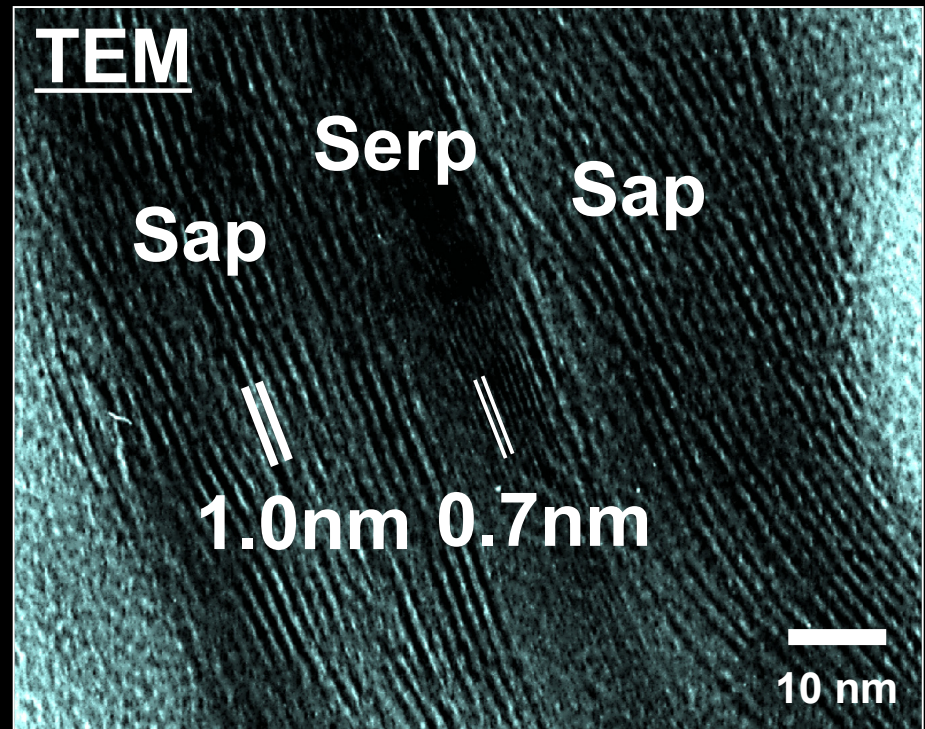
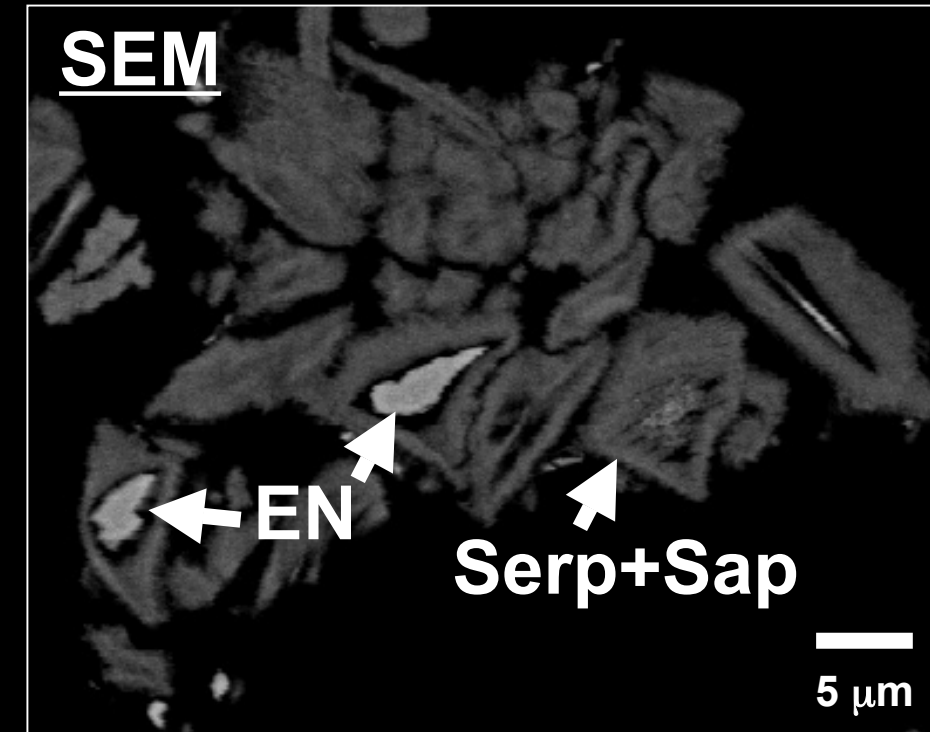


(5) 実験生成物 (pH 13):

XRD



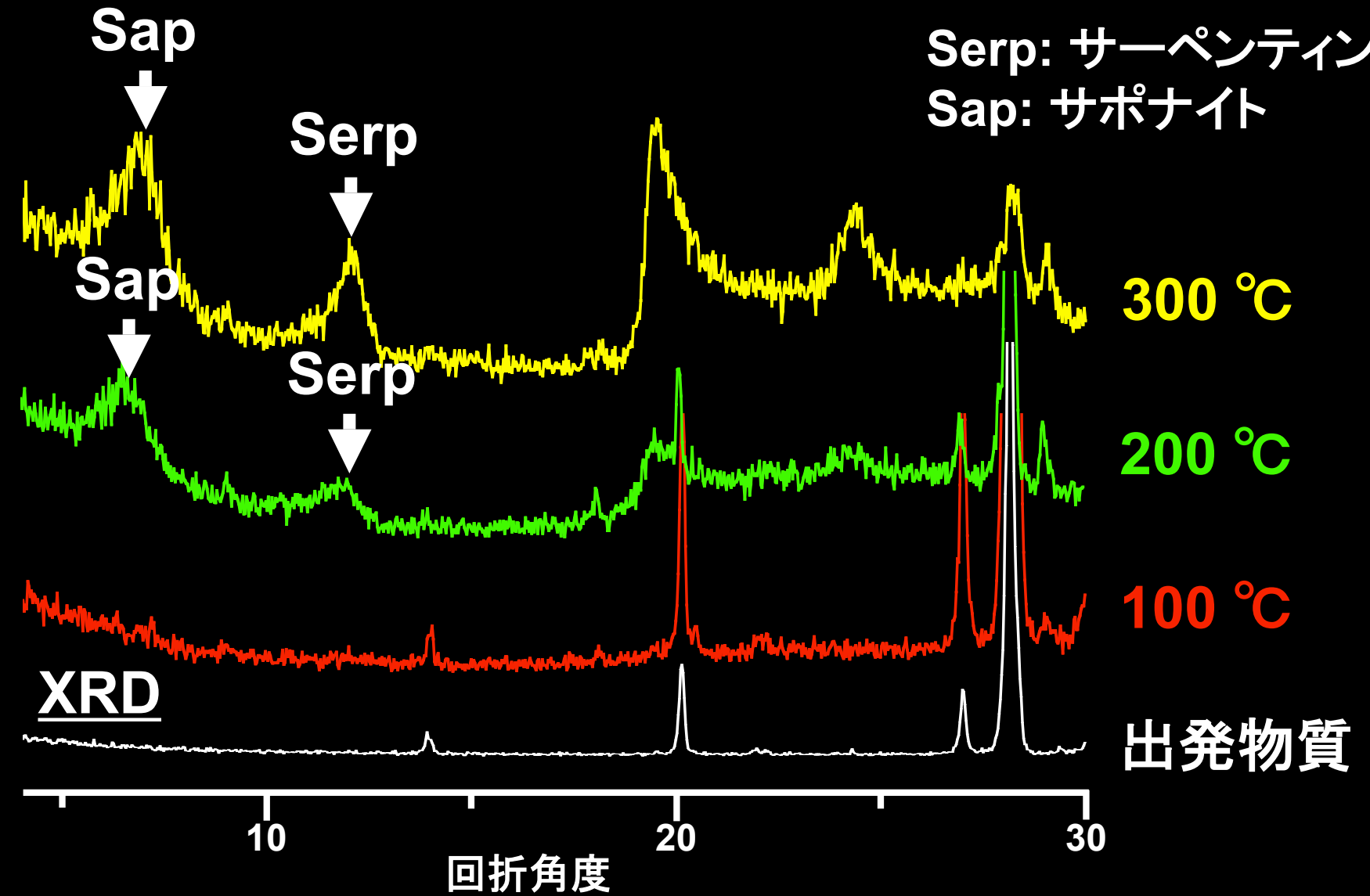
(5) 実験生成物 (pH 13):



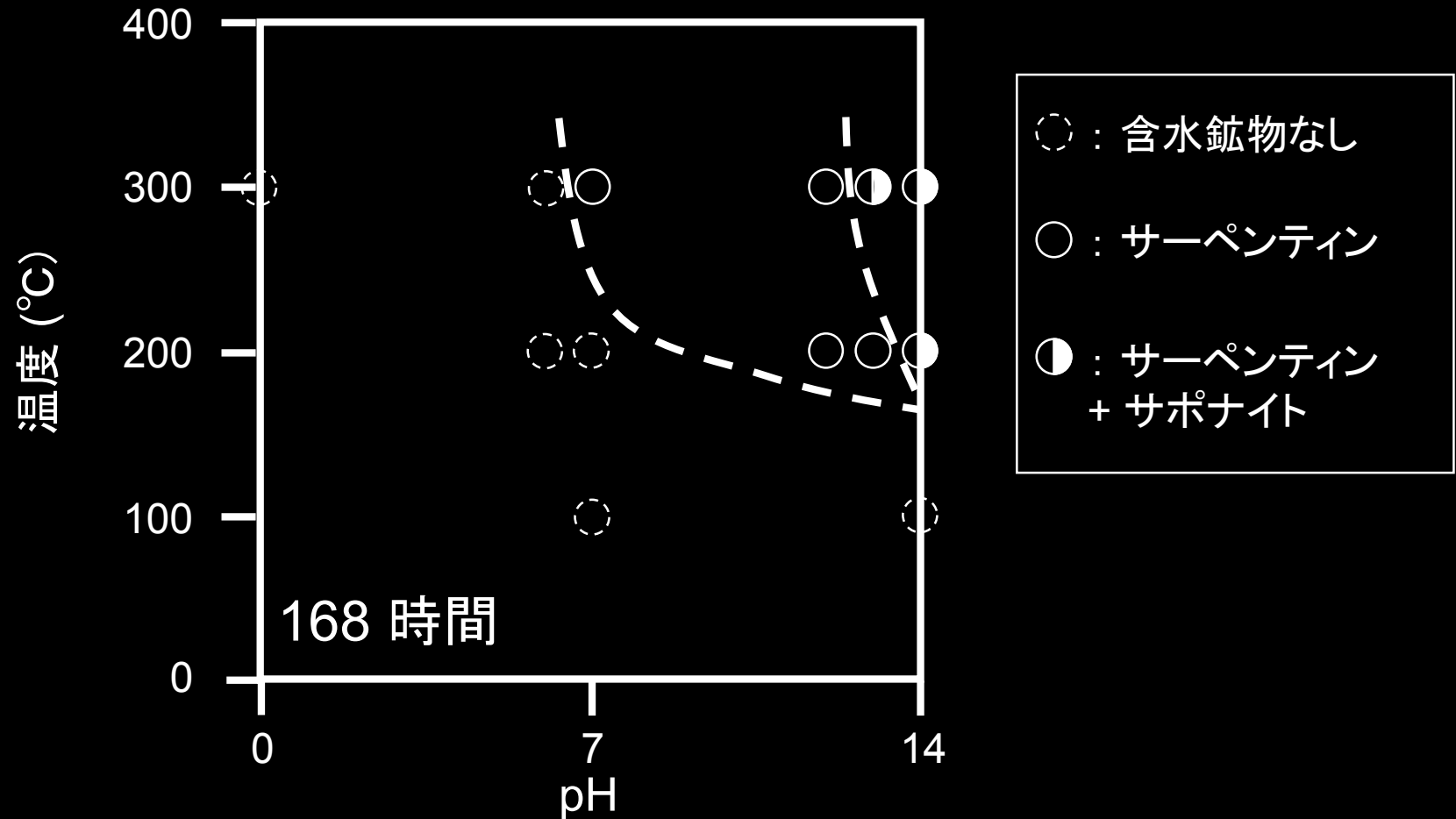
Serp: サーペンティン
Sap: サポナイト

300°C

(6) 実験生成物 (pH 14):

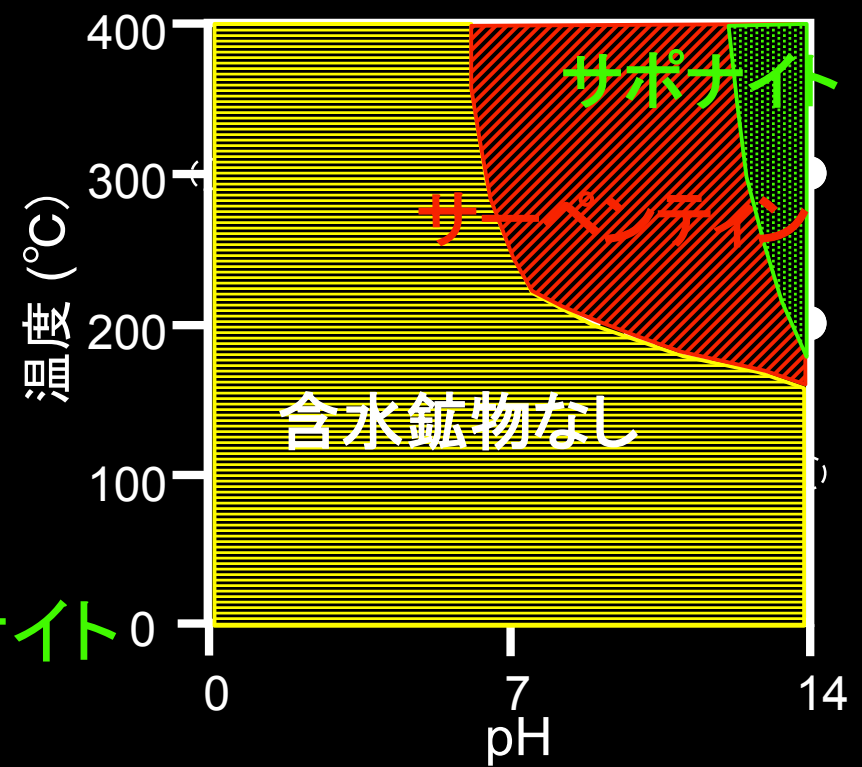


結果のまとめ:



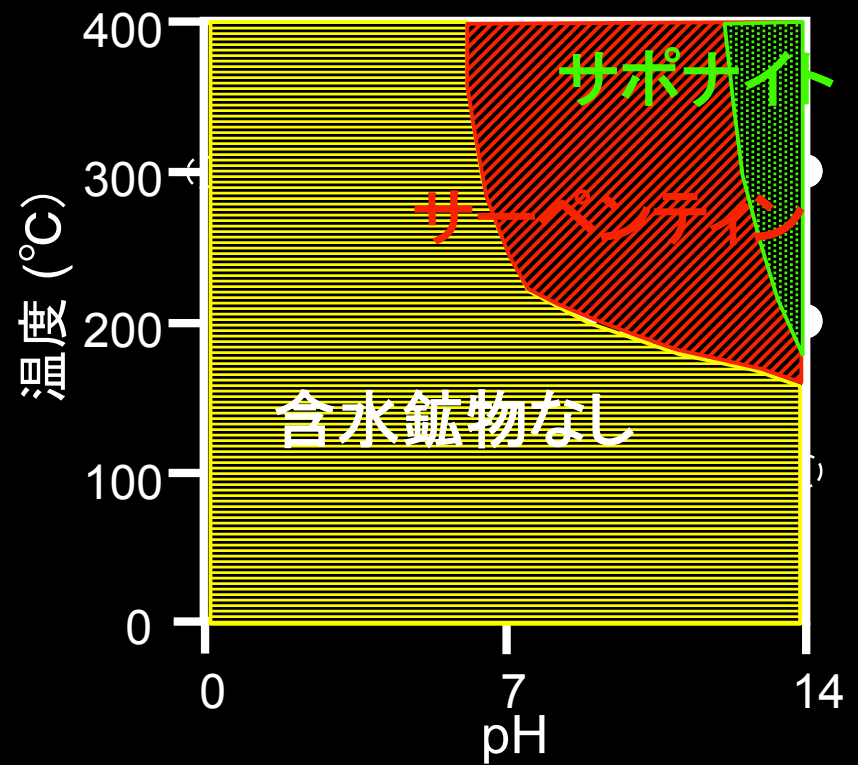
実験生成物のpH依存:

- 酸性条件:
含水鉱物なし
- 中性～アルカリ条件:
サーペンティン
- 強アルカリ条件:
サーペンティン + サポナイト



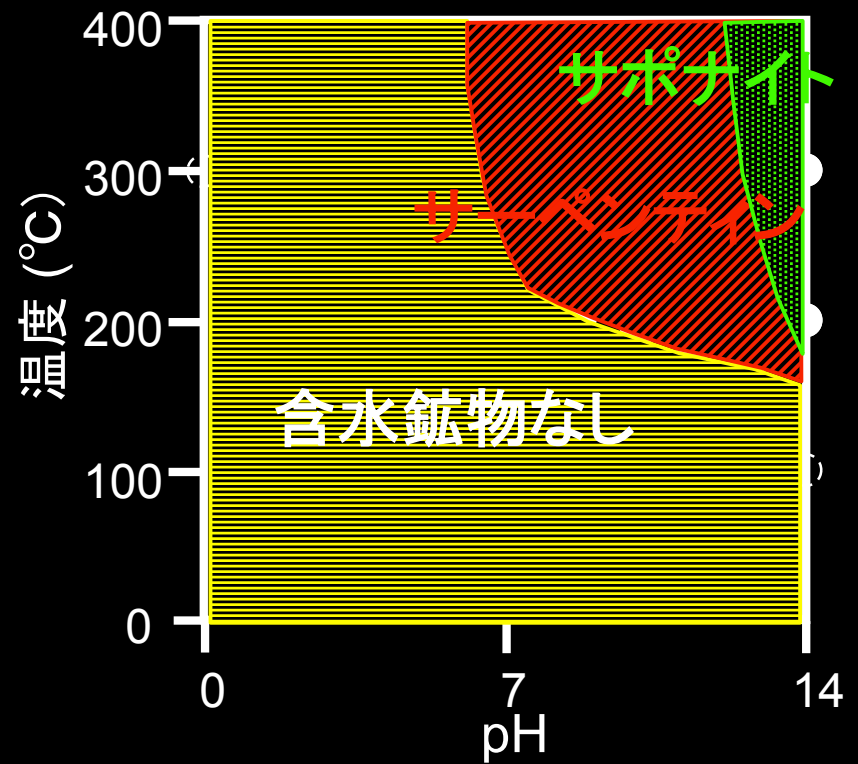
実験生成物の温度依存:

- 低温条件:
サーペンティン
- 高温条件:
サポナイト



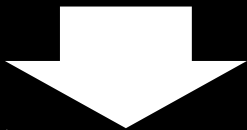
なぜ異なるpH条件で、異なる含水鉱物 が生成したのか？

- エンスタタイトの溶解:
- 含水鉱物の安定条件:



エンスタタイトの溶解：

- 低pH条件ほど、SiよりもMgが選択的に溶解。
(Oelkers, 1999)



溶液中のMg/Si比：

低pH > 高pH

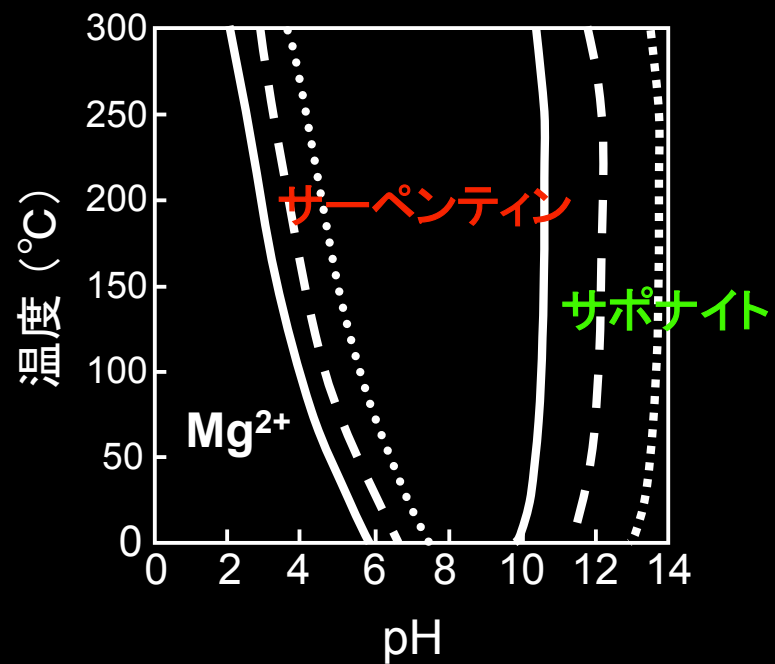
含水鉱物のMg/Si比：

サーペンティン > サポナイト
(~1.5) (~0.75)

含水鉱物の安定条件:

- 酸性条件:
含水鉱物 ×
- 中性～アルカリ条件:
サーペンティン ◎
- 強アルカリ条件:
サポナイト ◎

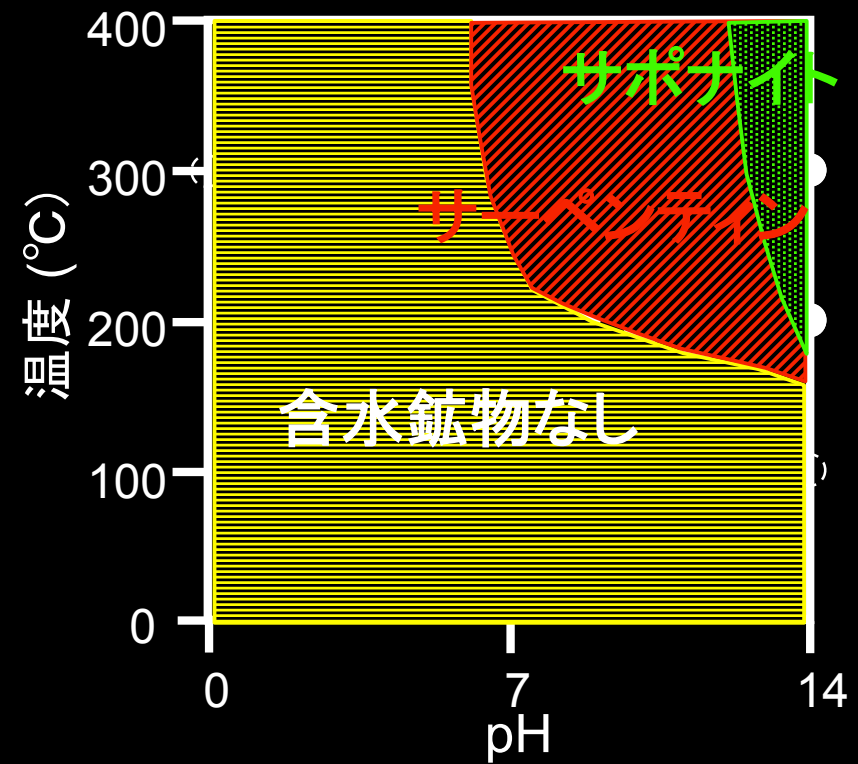
<GWBを用いた熱力学計算結果>



— : $\log [Mg^{2+}] = 0, \log [SiO_2(aq)] = 0$
- - : $\log [Mg^{2+}] = -1, \log [SiO_2(aq)] = -1$
..... : $\log [Mg^{2+}] = -2, \log [SiO_2(aq)] = -2$

なぜ異なるpH条件で、異なる含水鉱物 が生成したのか？

- エンスタタイトの溶解:
pH依存
- 含水鉱物の安定条件:
pH依存



コンドライト隕石の水質変成条件

	含水鉱物	pH	温度
CM	サーペンティン	中性～ アルカリ	低温
CI	サーペンティン + サポナイト	強アルカリ	中温
CV	サポナイト	強アルカリ	高温

COE期間内に発表した論文

1. K. Tomeoka, N. Tomioka, and I. Ohnishi (2008) Silicate minerals and Si-O glass in Comet Wild 2 samples: Transmission electron microscopy, *Meteoritics & Planetary Science* (in press).
2. I. Ohnishi, K. Tomeoka, and N. Ishizaki (2007) Microinclusion-rich vesicular olivine in the Karoonda CK4 chondrite: Transmission electron microscopy, *Journal of Mineralogical and Petrological Sciences*, **102**, 346-351.
3. K. Tomeoka, I. Ohnishi, N. Tomioka, M. Sugita, K. Adachi (2007) Test samples for the Hayabusa sample-return mission: Mineralogy and petrology, *The Institute of Space and Astronautical Science Report SP* (in press).
4. I. Ohnishi, and K. Tomeoka (2007) Hydrothermal alteration experiments of enstatite: Implications for aqueous alteration of carbonaceous chondrites, *Meteoritics & Planetary Science*, **42**, 49-62.
5. M. Zolensky et al. (2006) (I. Ohnishi is the 32nd coauthor in 75 people.) Mineralogy and Petrology of Comet 81P/Wild 2 Nucleus Samples, *Science*, **314**, 1735-1739.
6. D. Brownlee et al. (2006) (I. Ohnishi is the 117th coauthor in 183 people.) Comet 81P/Wild 2 Under a Microscope, *Science*, **314**, 1711-1716.
7. K. Das, S. Bose, I. Ohnishi, and S. Dasgupta (2006) Garnet-spinel intergrowths in ultrahigh-temperature granulite, Eastern Ghats, India: Possible evidence of an early Tschermak-rich orthopyroxene during prograde metamorphism, *American mineralogist*, **91**, 375-384.
8. K. Tomeoka, T. Kojima, I. Ohnishi, Y. Ishii, and N. Nakamura (2005) The Kobe CK carbonaceous chondrite: petrography, mineralogy and metamorphism, *Journal of Mineralogical and Petrological Sciences*, **100**, 116-125.